



BESIII Italian Collaboration

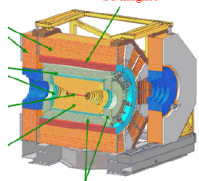
R. Baldini Ferroli, M.Bertani, A. Calcaterra, A. Zallo, M.Anelli (LNF)

F. Coccetti (Centro Fermi/LNF)

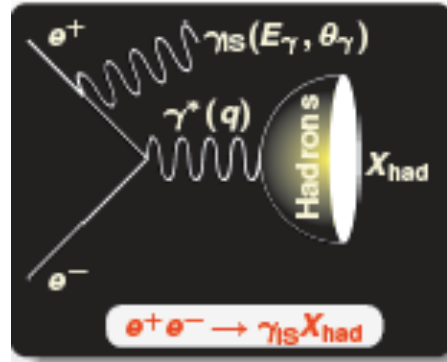
S. Pacetti (PG)

M. Destefanis, M. Greco, L. Fava, M. Maggiora, S. Spataro (TO)

S. Stucci, laureanda gruppo collegato CS



BESIII



- ◎ Existing results, mainly from BABAR (ISR) show interesting and unexpected behaviors especially at threshold for $e^+e^- \rightarrow p\bar{p}$, $e^+e^- \rightarrow \Lambda\bar{\Lambda}$
- ◎ Only one measurement by FENICE (energy scan) for $e^+e^- \rightarrow n\bar{n}$, now SND confirms FENICE

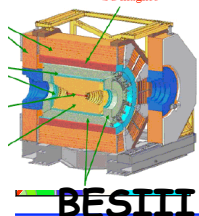
Physical limits in reaching threshold of many of these channels via energy scan (stable hadrons produced at rest cannot be detected)

The ISR technique provides a unique tool to access threshold regions working at higher resonances:

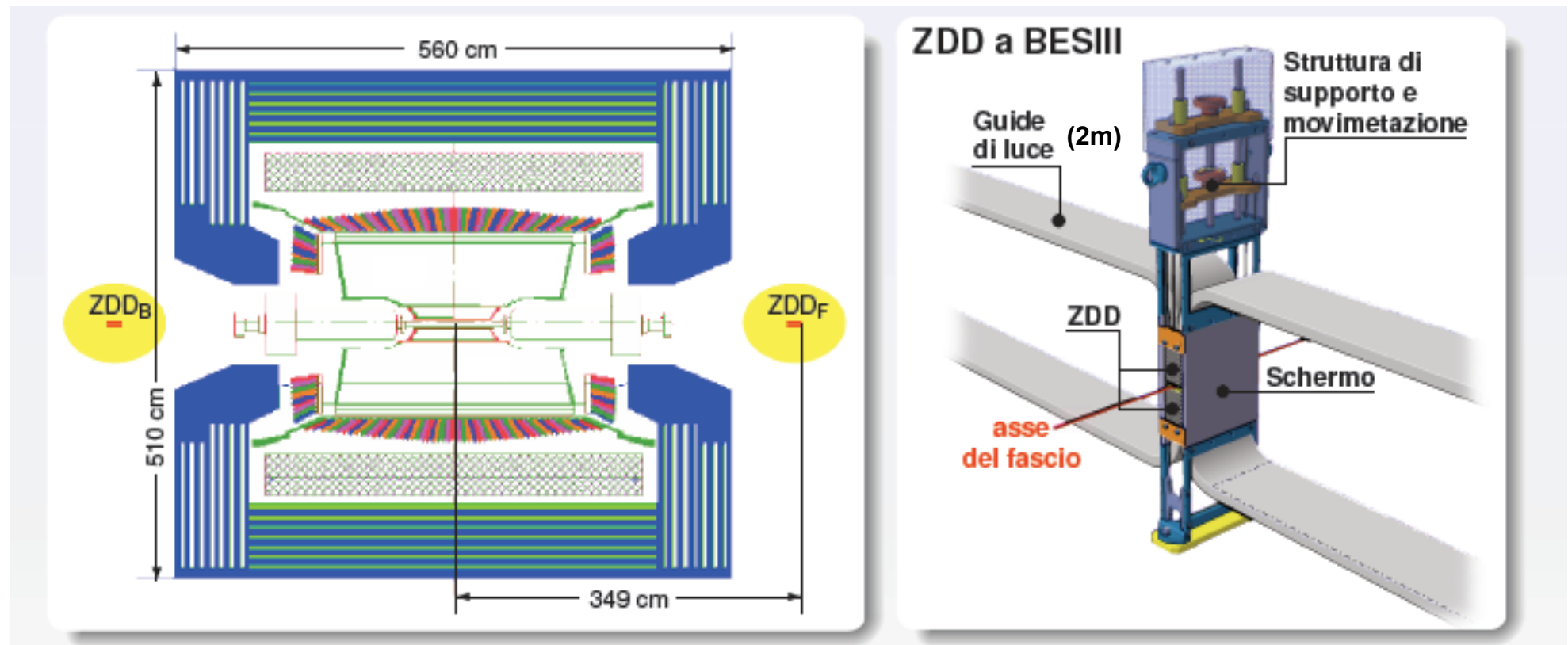
- all energies (q^2) at the same time → better control on systematics
- detect ISR photon → full X_{had} angular coverage

A Zero Degree radiative photon tagger has just been installed at 3.5m from IP

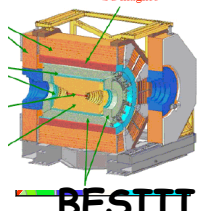
- to detect ISR photons peaked at small angle
- to suppress background from π^0 and γ_{FS}



BESIII and Zero Degree Detector

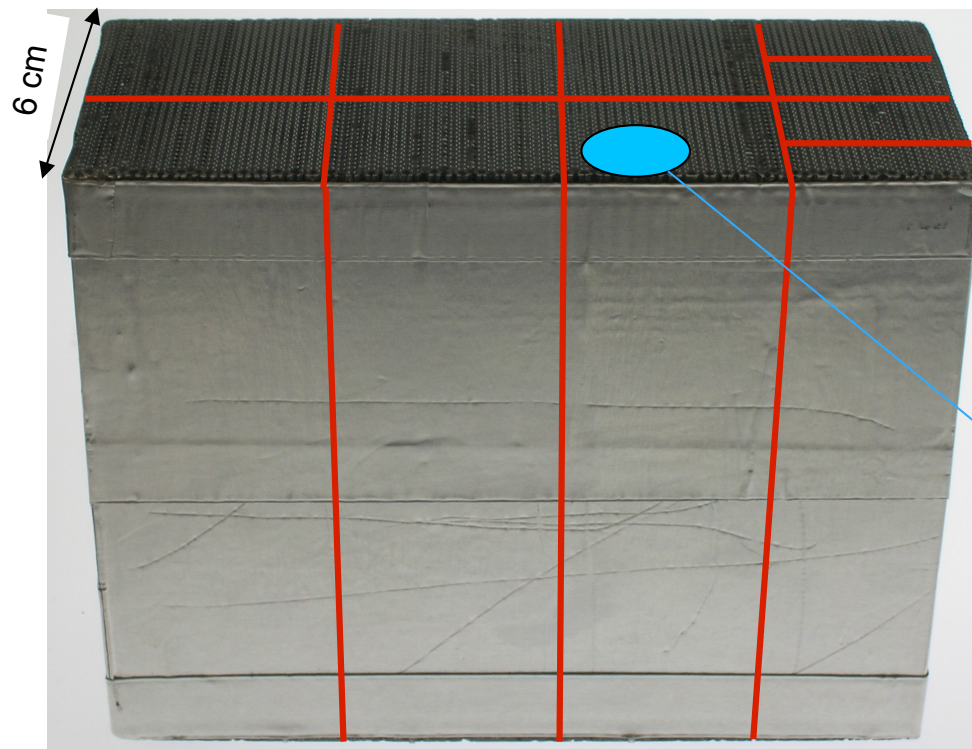
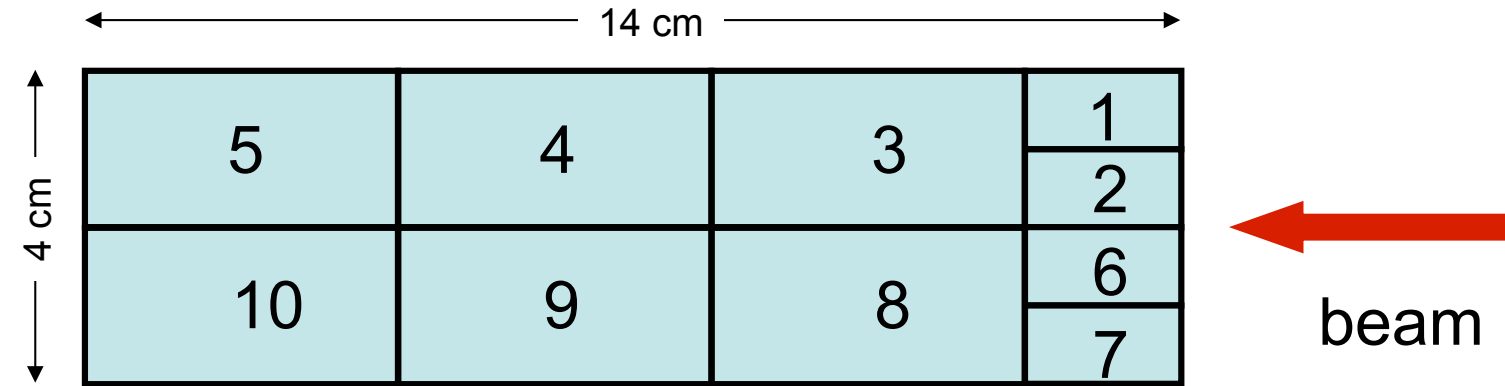


ZDD: Pb/Sci.Fi Array, scintillating material 60% of total (in volume), two modules (up and down the beam) dimensions: 14x4x6cm³

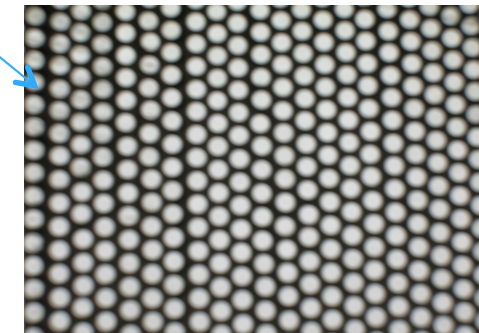


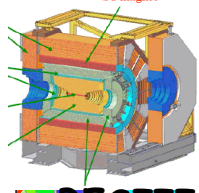
ZDD segmentation (one/two module)

BESIII



Each sector is sent to a PM,
sectors 1&2 (6&7) are sent
to the same PM





BESIII

ZDD: milestones raggiunte

◎ 2009: Prime idee e studi, proposta alla collaborazione BESIII

◎ 2010:

◎ R&D con campione SciFi tagliato da prototipo esp. P326/NA62

◎ Giugno: summer BESIII coll.meeting: approvata proposta SciFi per ZDD, una sola stazione per lasciare un LUMI monitor dall'altra parte dell'IP

◎ settembre, CSN1 :approvata ufficialmente sigla BESIII Italia e finanziato ZDD per il 2011, chiesto anticipo al 2010 del 50% per poter iniziare approvvigionamento

◎ 2 moduli (up and down) tagliati dal prototipo P326

◎ 2011:

◎ Fresatura dei due moduli

◎ Struttura meccanica: disegno/progetto e costruzione

◎ realizzazione guide di luce: bundles di fibre chiare lunghe 2m

◎ approvvigionamento PM Hamamatsu e moduli elettronica CAEN

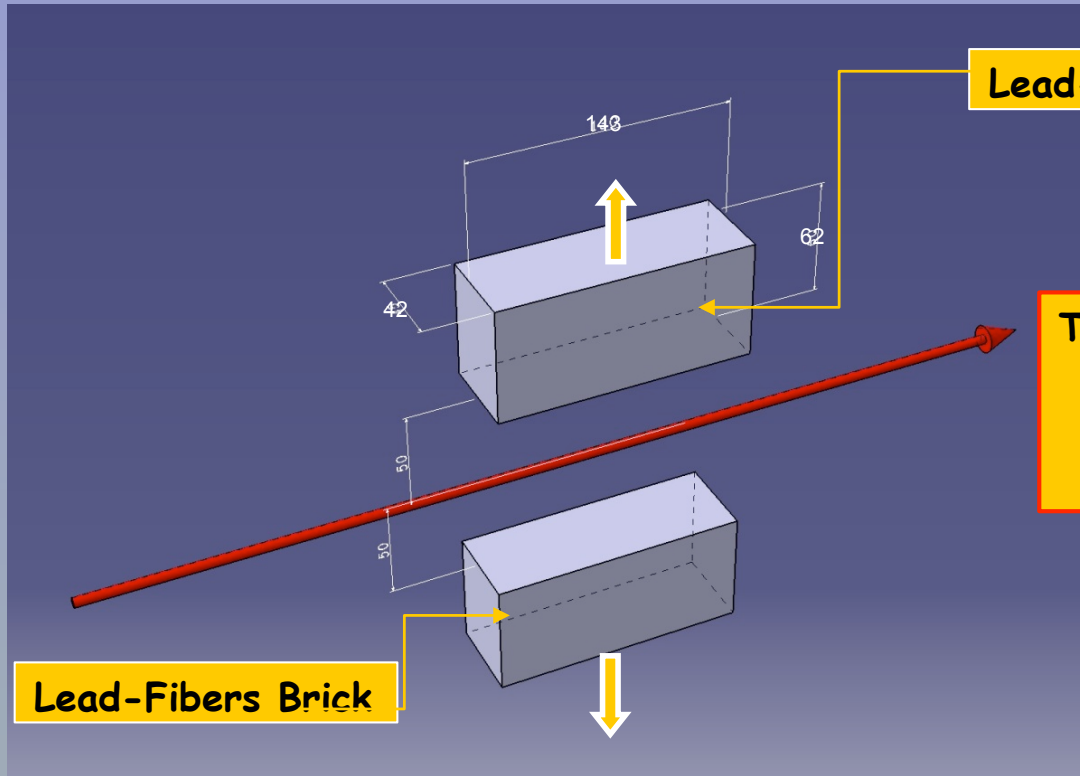
◎ Front End Electronics: progetto e realizzazione a LNF

◎ maggio-giugno: test con raggi cosmici e BTF

◎ luglio: spedizione a IHEP

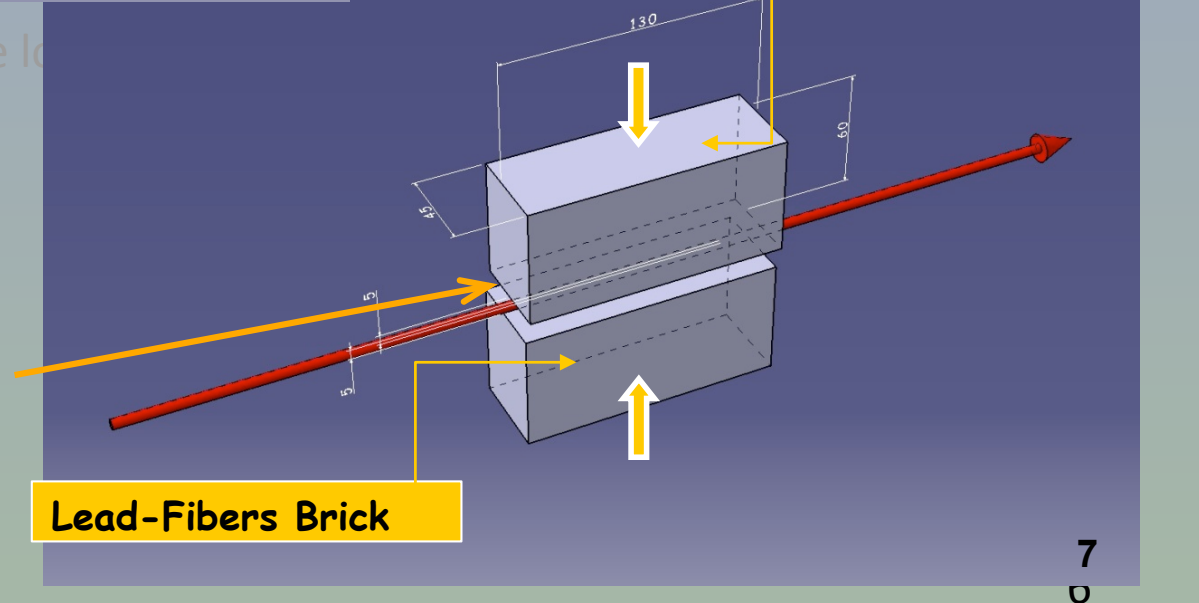
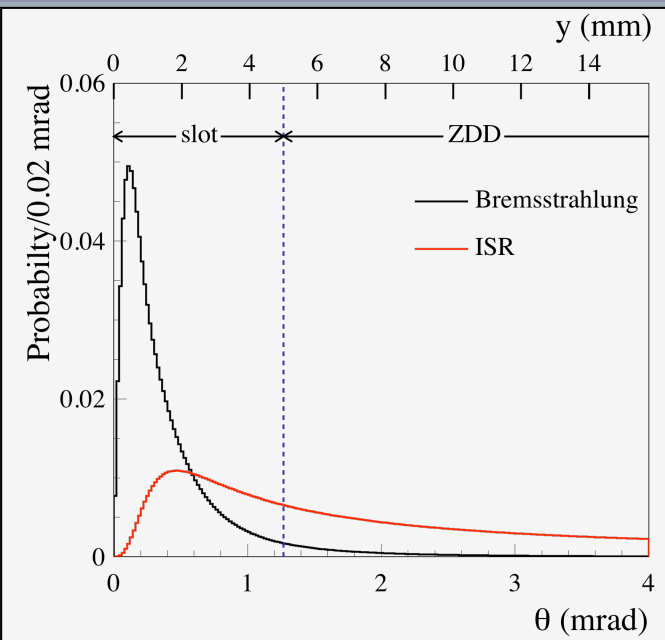
◎ Agosto: installazione a BEPCII !

(design by D.Orecchini)



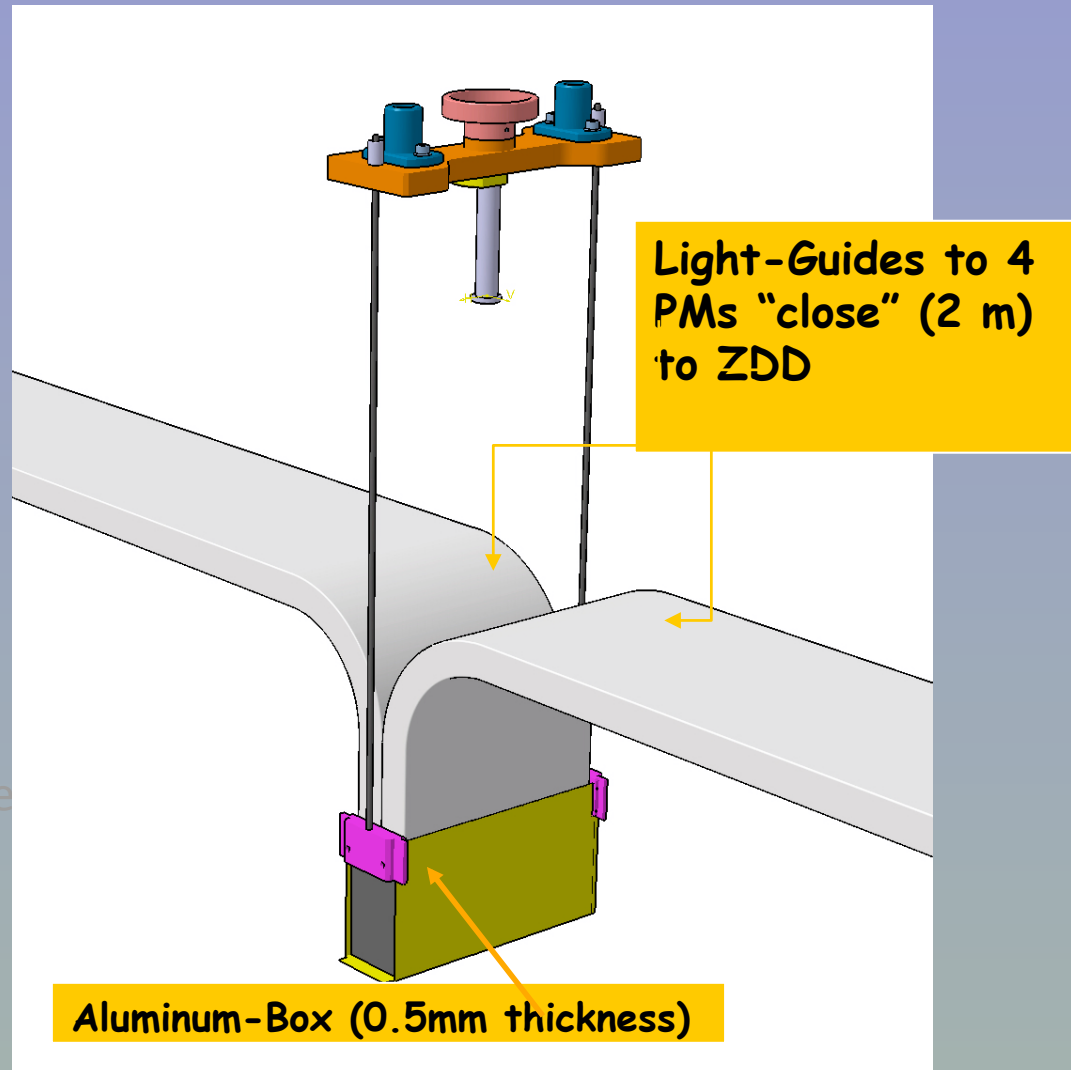
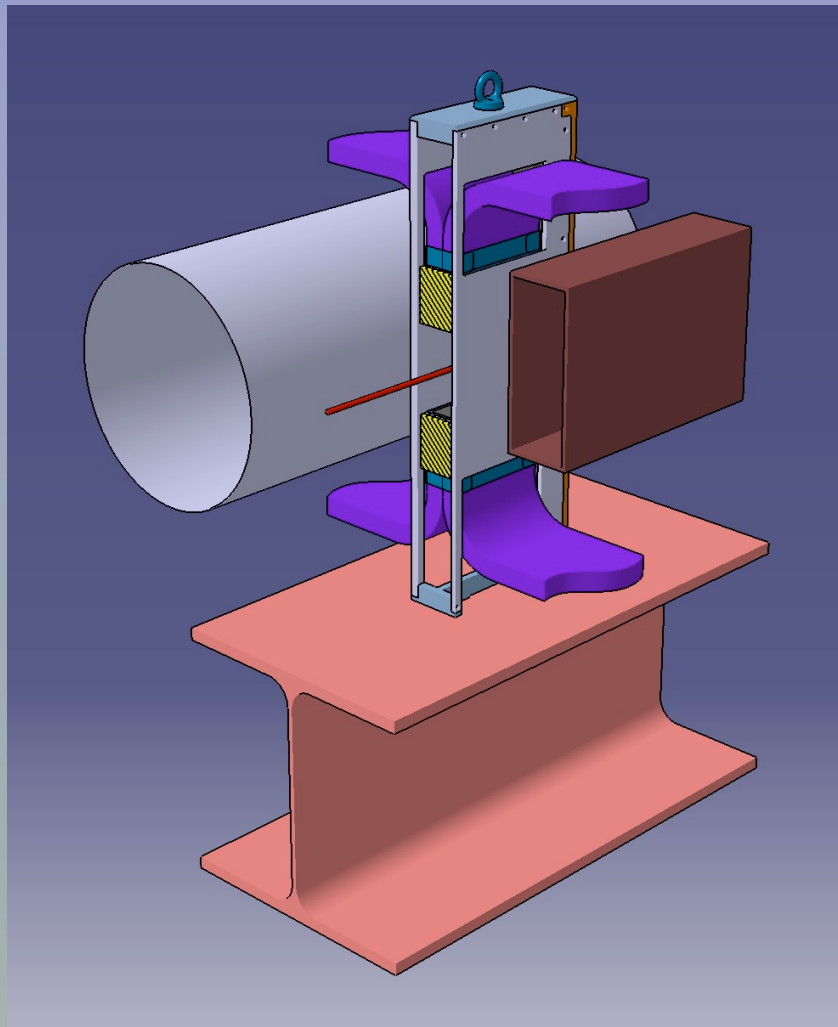
Lead-Fibers Brick

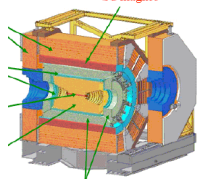
The opposite faces of the two bricks lift:
a) - Up, to 45mm from the beam;
b) - Down, to 5mm from the beam.



Lead-Fibers Brick

(design by D.Orecchini)





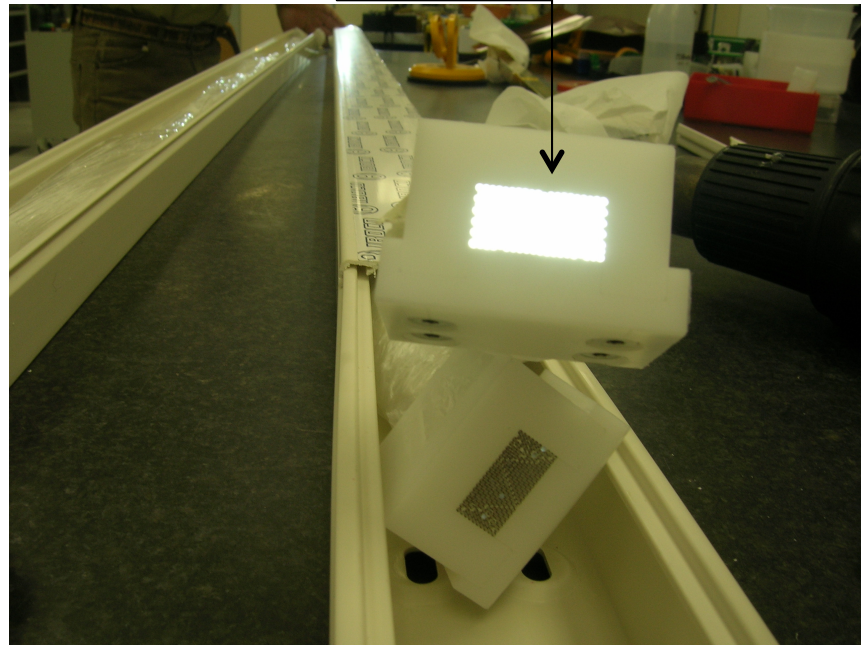
BESIII

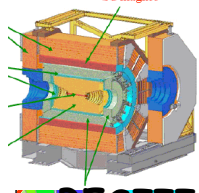
Bundles production (clear fibers)

(SSE, resp. M.Anelli)

for each module:

$6 \times (2 \times 4 \times 200) \text{cm}^3 + 4 \times (1 \times 2 \times 200) \text{cm}^3$
8PM





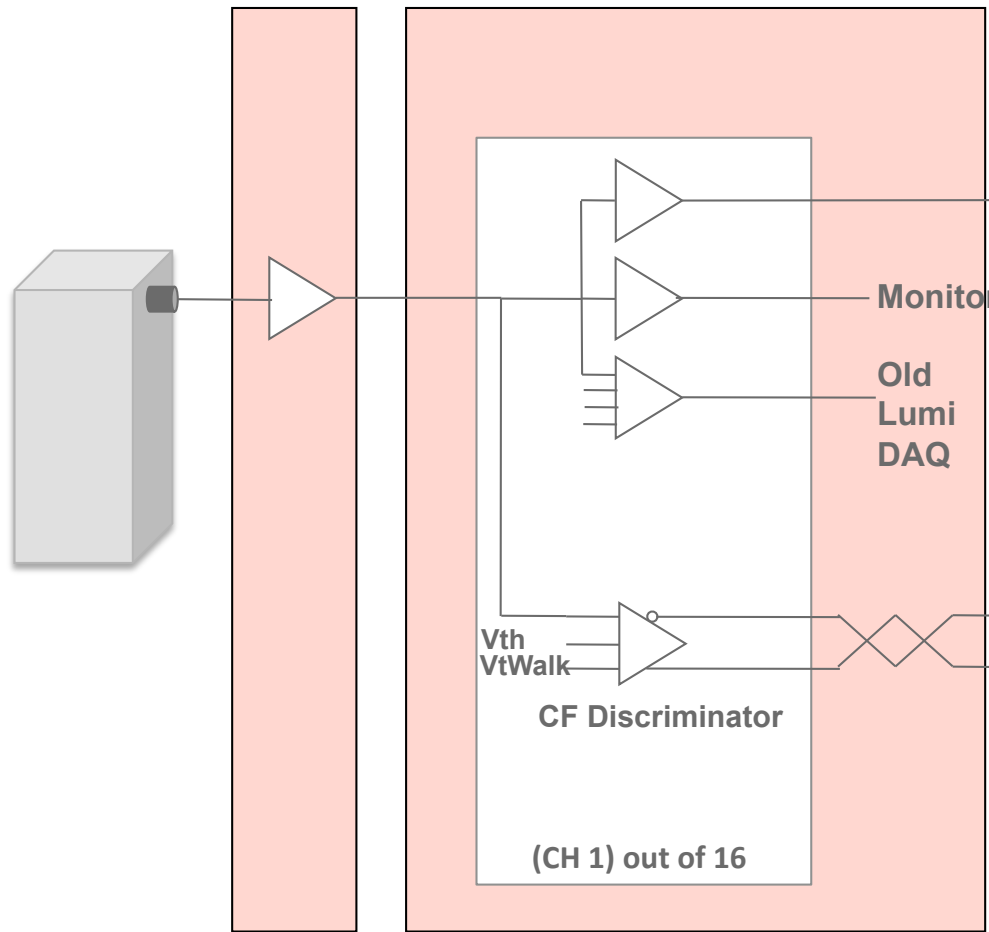
BESIII

Front End Electronics

(by G.Felici, LNF-SEA)

On-Detector FEE
(2m away)

Off-Detector FEE
room(20m away)



CAEN V1721 DIGITIZER
8 chs - 8 bits - 500 MS/s
(1 out of 2)



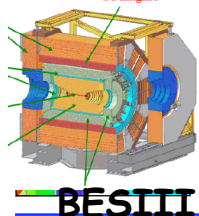
CAEN V1190B TDC
64 chs multievent TDC



DAQ room (20 m away)

VME
Processor

DAQ

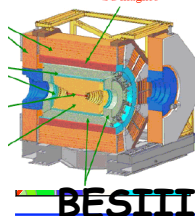


BTF test beam

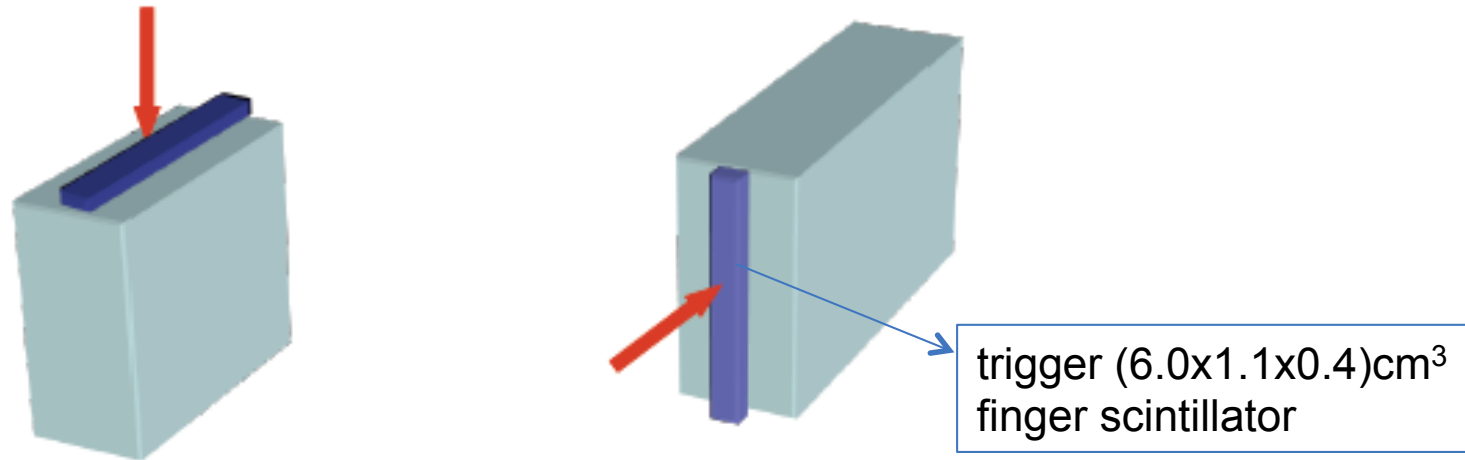
(may 16-22 2011)



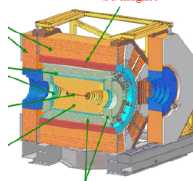
One (out of two) ZDD module tested at BTF
with 450, ~300, ~200 MeV e⁻ bunches ($N_{e^-}=1,2,3$)
Final Pb-scifi ZDD module, bundles guides,
PM's, TDC, at the moment not FADC but ADC
caen V V792N
Small scintillator (60x11x4) mm³ used to trigger
and select electrons impact point



Cosmic rays and Beam Test Facility



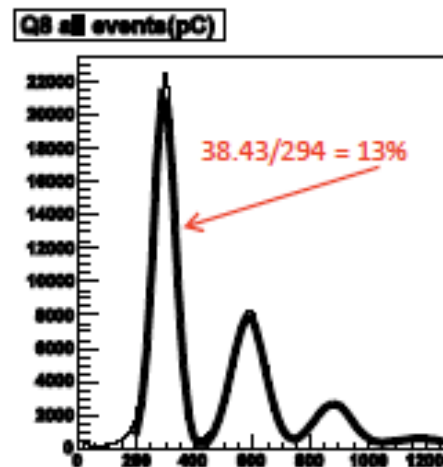
- From cosmic ray data set compute a set of correction factors for PM equalisation
- Read back the BTF data applying individual factors to the 8 channels
- Recompute the the sums of left, right collected charge



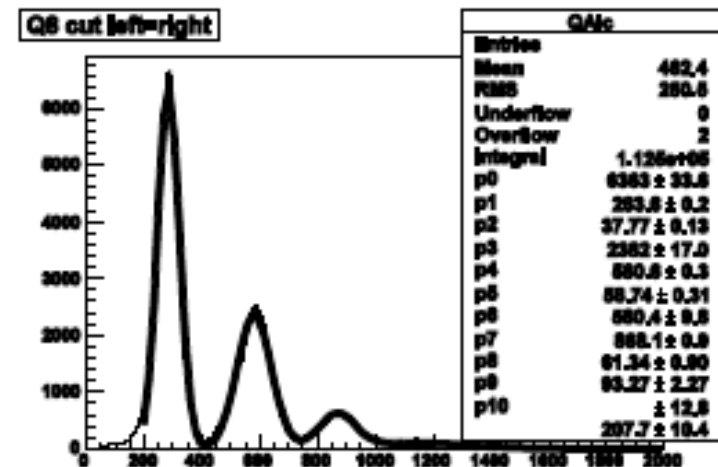
BESIII

BTF data

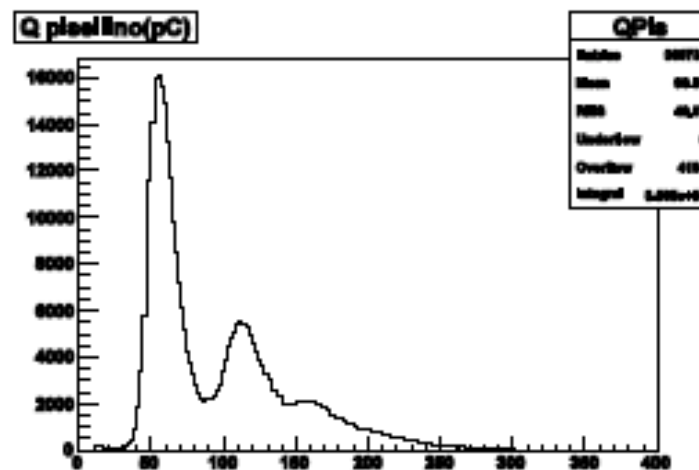
Run 4, 450 MeV, corrected data



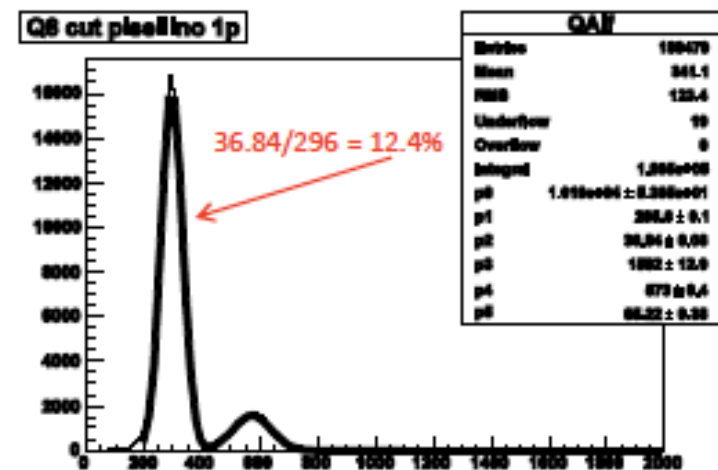
| Q8 | |
|-----------|-----------------------|
| Entries | 297291 |
| Mean | 491.3 |
| RMS | 294.1 |
| Underflow | 0 |
| Overflow | 4210 |
| Integral | 8.89e+005 |
| p0 | 2.14e+004 ± 0.13e+001 |
| p1 | 280.7 ± 6.1 |
| p2 | 38.43 ± 0.7 |
| p3 | 784.6 ± 21.3 |
| p4 | 988.6 ± 6.2 |
| p5 | 98.34 ± 0.18 |
| p6 | 287.0 ± 16.8 |
| p7 | 877.0 ± 6.4 |
| p8 | 68.03 ± 0.28 |
| p9 | 89 ± 0.3 |
| p10 | ± 1.2 |
| | 87.85 ± 1.79 |



| Q8c | |
|-----------|--------------|
| Entries | 462.4 |
| Mean | 462.4 |
| RMS | 290.6 |
| Underflow | 0 |
| Overflow | 2 |
| Integral | 1.125e+05 |
| p0 | 6363 ± 33.8 |
| p1 | 283.8 ± 0.2 |
| p2 | 37.77 ± 0.13 |
| p3 | 2362 ± 17.0 |
| p4 | 880.8 ± 0.3 |
| p5 | 88.74 ± 0.31 |
| p6 | 880.4 ± 0.8 |
| p7 | 888.1 ± 0.8 |
| p8 | 91.34 ± 0.80 |
| p9 | 93.27 ± 2.27 |
| p10 | ± 12.8 |
| | 207.7 ± 19.4 |

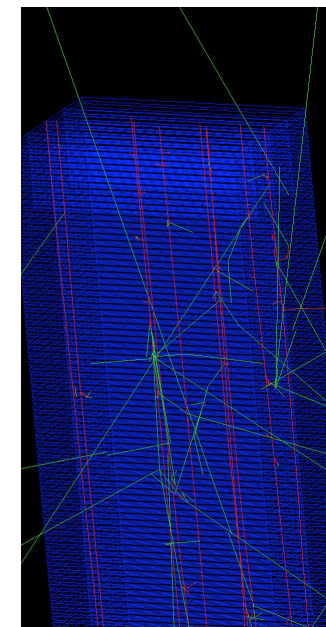
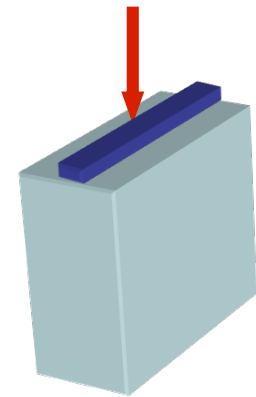
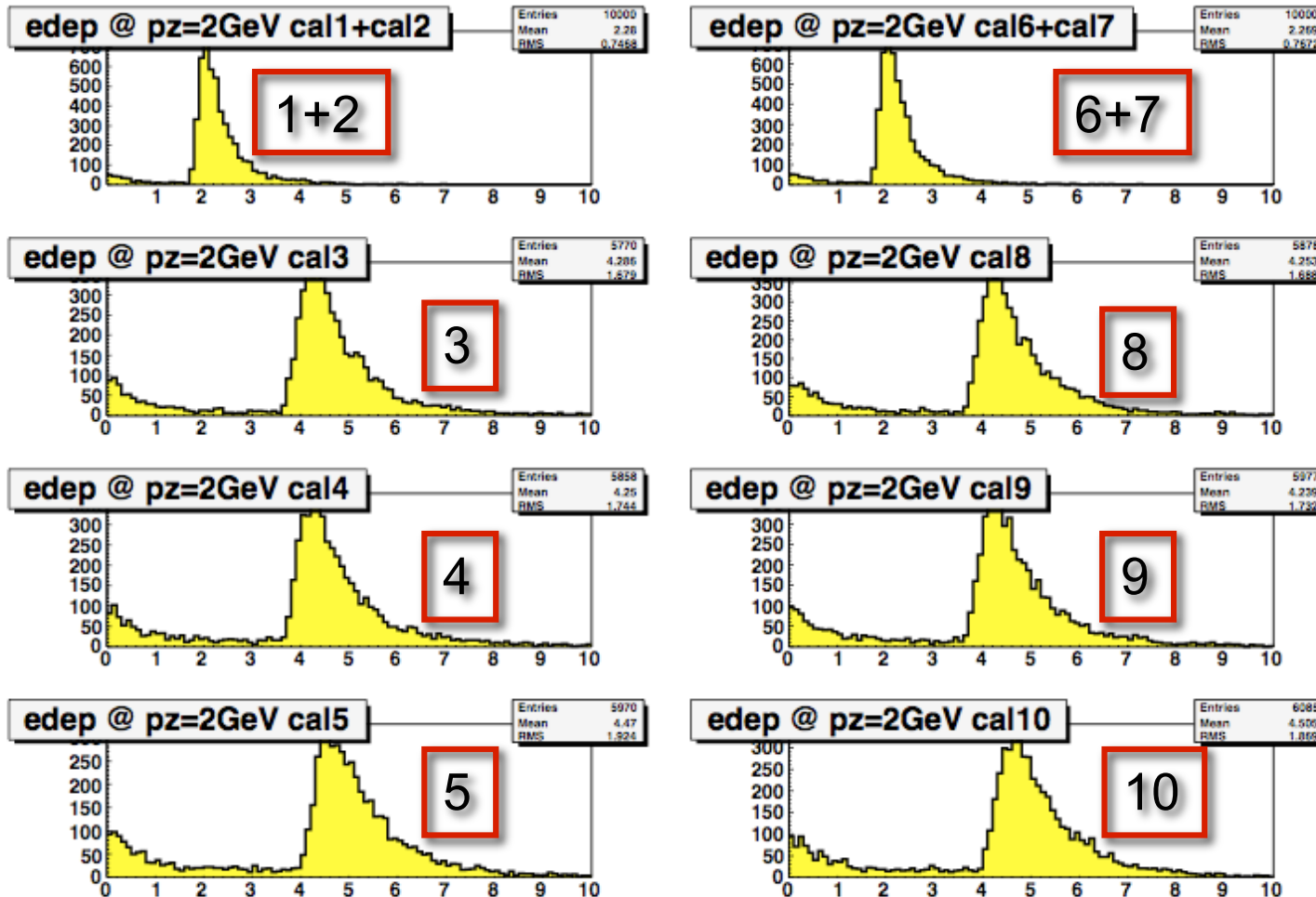


| QPIs | |
|-----------|-----------|
| Entries | 98710 |
| Mean | 58.03 |
| RMS | 49.87 |
| Underflow | 0 |
| Overflow | 4194 |
| Integral | 5.895e+05 |



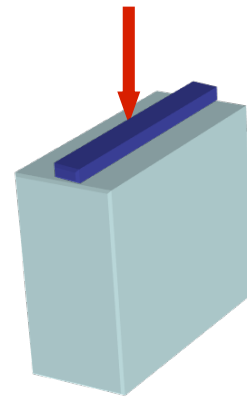
| Q8 | |
|-----------|-----------------------|
| Entries | 189479 |
| Mean | 341.1 |
| RMS | 123.4 |
| Underflow | 19 |
| Overflow | 0 |
| Integral | 1.895e+05 |
| p0 | 1.098e+04 ± 0.388e+01 |
| p1 | 286.8 ± 0.1 |
| p2 | 36.84 ± 0.08 |
| p3 | 1882 ± 12.0 |
| p4 | 879 ± 0.4 |
| p5 | 86.82 ± 0.38 |

Geant MC: Cosmic rays (1)

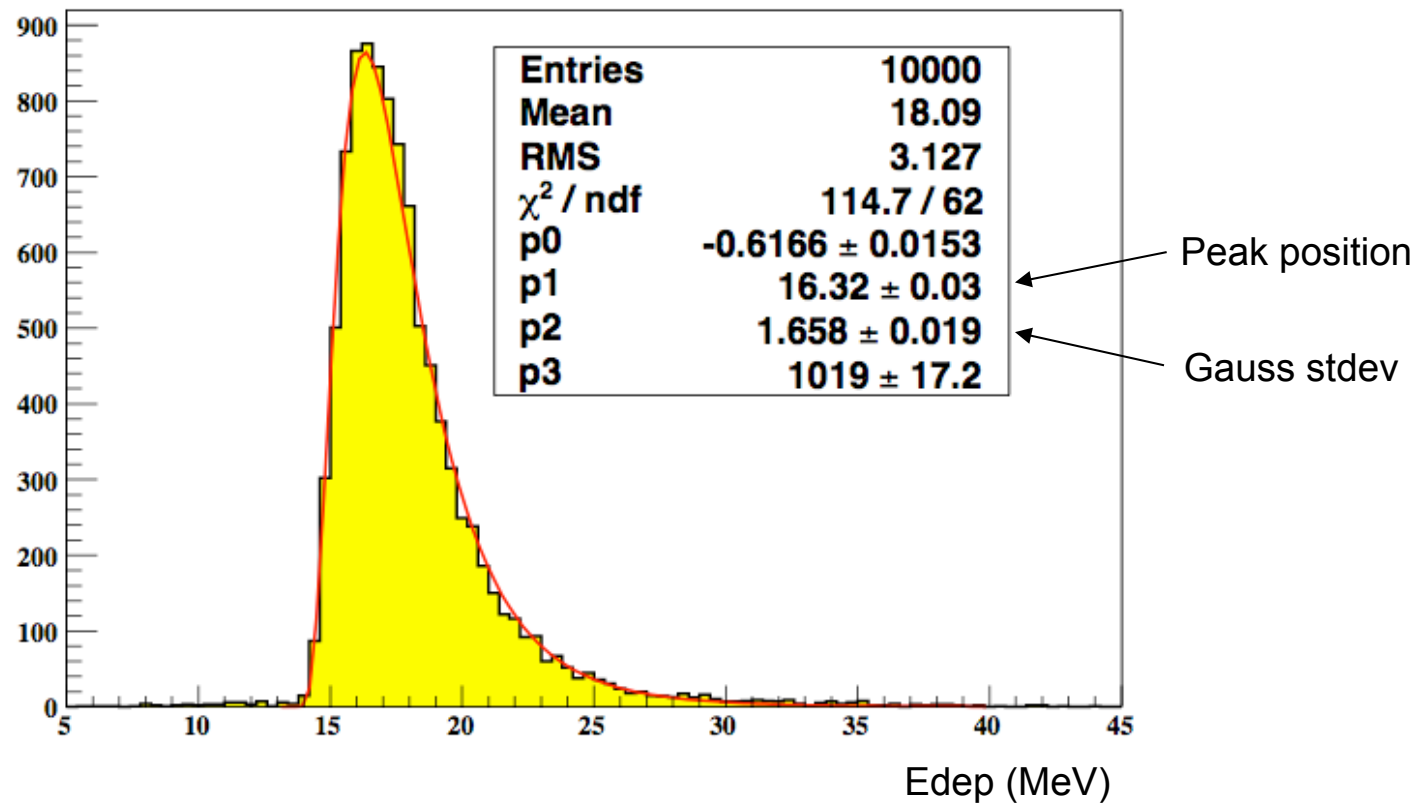


The histograms represent the deposited energy by the muons into the 8 RO sectors (slide 2). The peak position is in agreement with the prediction for a mip traversing the material. The initial part of the distributions is due to the energy loss by the delta rays produced by the muon when it pass through the neighbour sector of the same layer.

Geant MC: Cosmic rays (2)

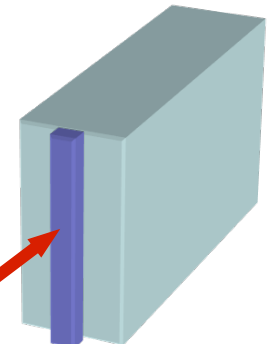


muon edep @ $p_z=2\text{GeV}$ large trigger area - test beam

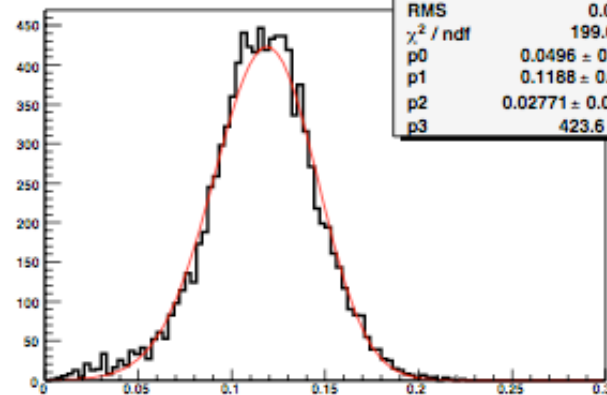


The histogram represents the total deposited energy by the muons (sum over all 8 sectors). The MC data are fitted with the standard log gaussian distribution.

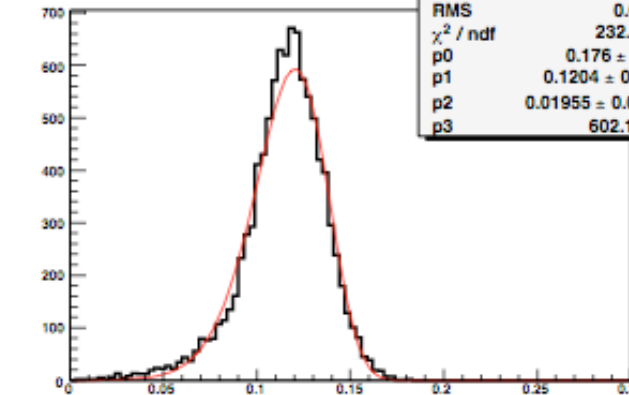
BTF Geant



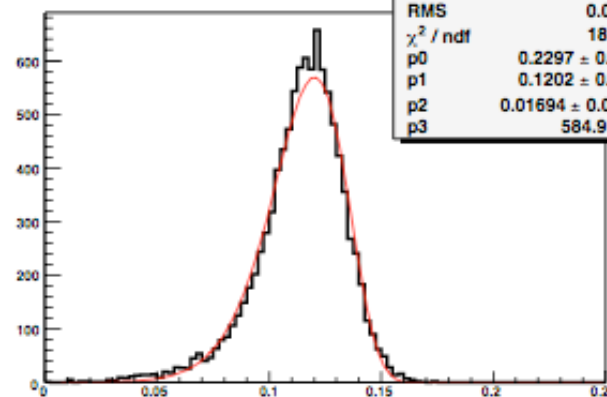
edep @ pz=125MeV



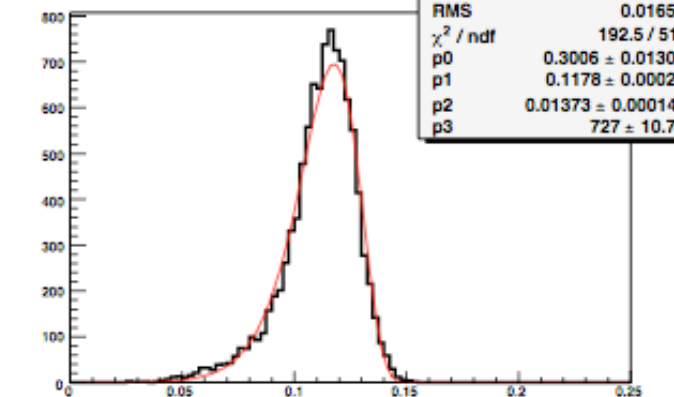
edep @ pz=297MeV



edep @ pz=450MeV

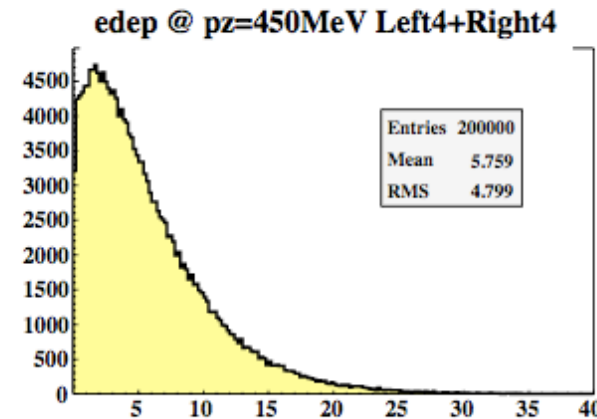
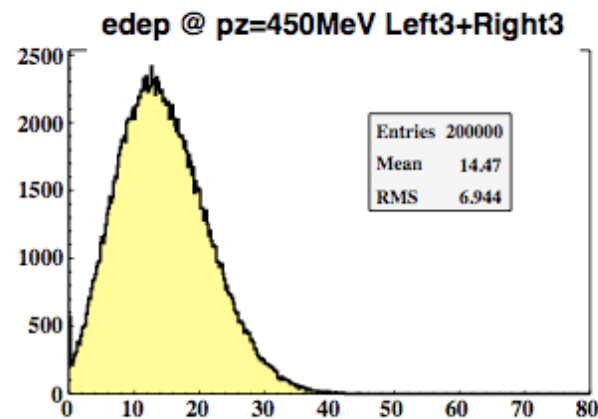
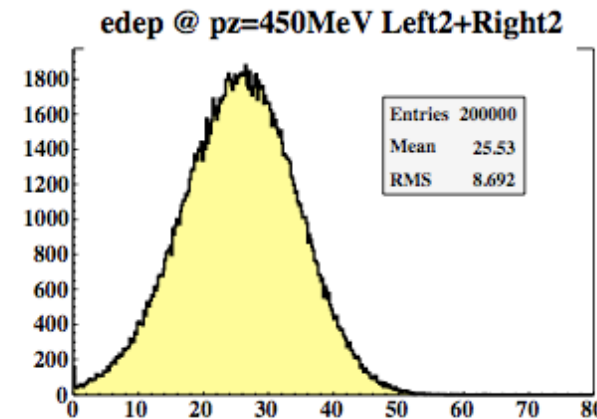
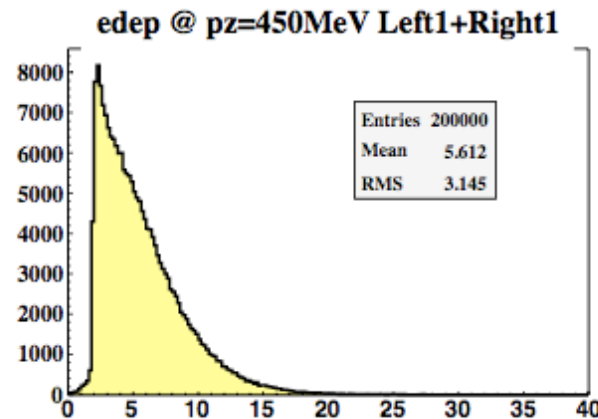


edep @ pz=900MeV



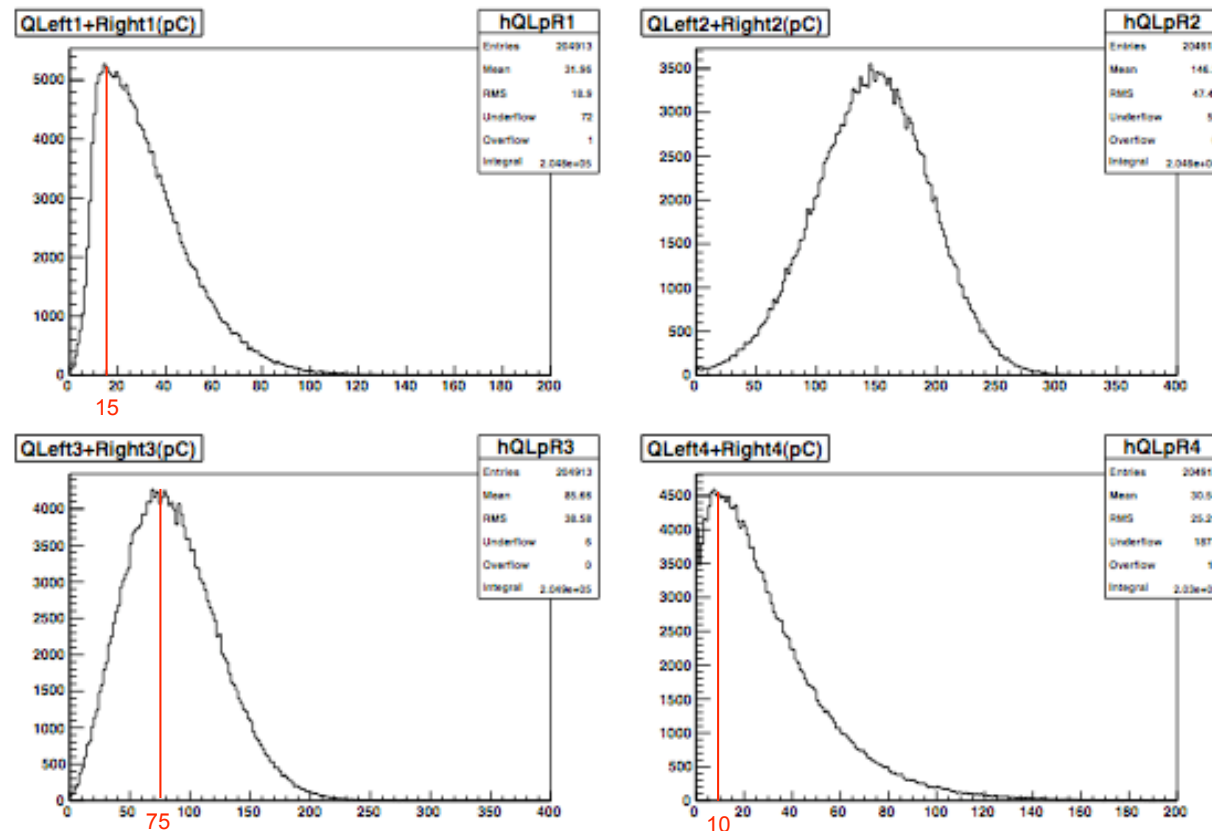
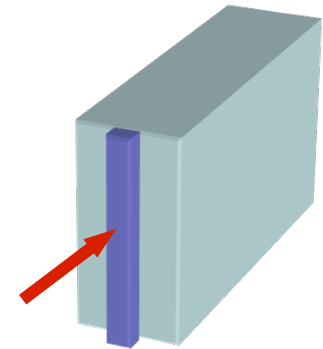
The 4 histograms represent the total deposited energy (sum over all 10 sectors) by the beam electrons, normalized to the beam energy, for the 4 analyzed energy. The data are fitted with the standard log gaussian distribution.

BTF Geant @ 450MeV



The 4 histograms represent the deposited energy per layer (e.g. 3+8 sectors) at the beam energy 450MeV

BTF TB data @ 450MeV



The 4 histograms represent the deposited energy per layer (e.g. 3+8 sectors) measured during the test beam (run 4) with 450MeV beam energy.

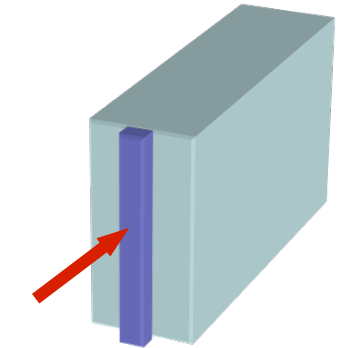
Comparison data-MC @ 450MeV

The shape of the distributions data and MC are very similar. The initial part of the MC distribution of the layer1 is steeper than the data one. This is still under study.

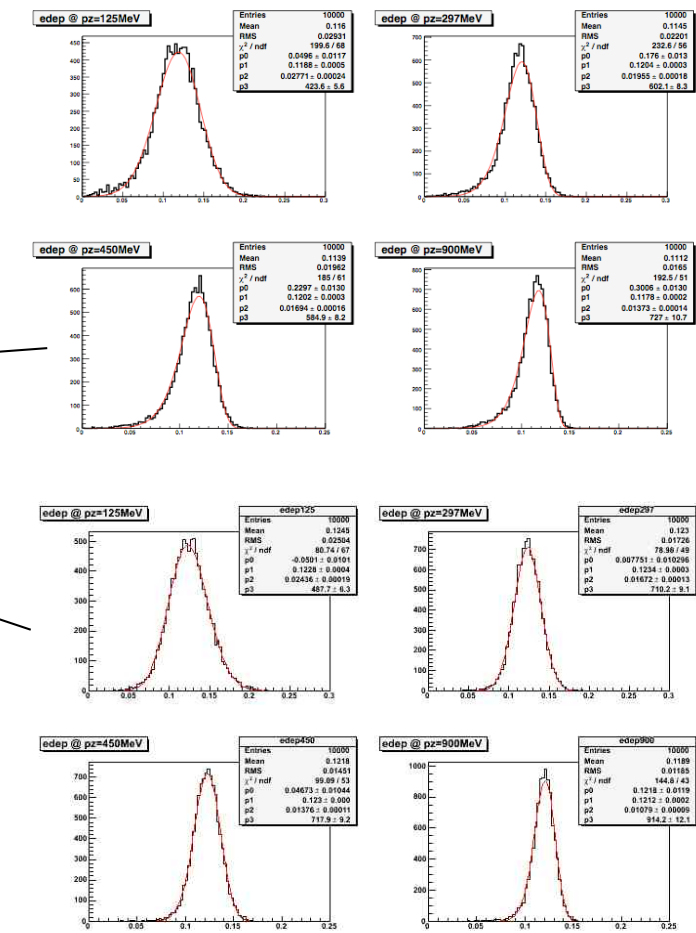
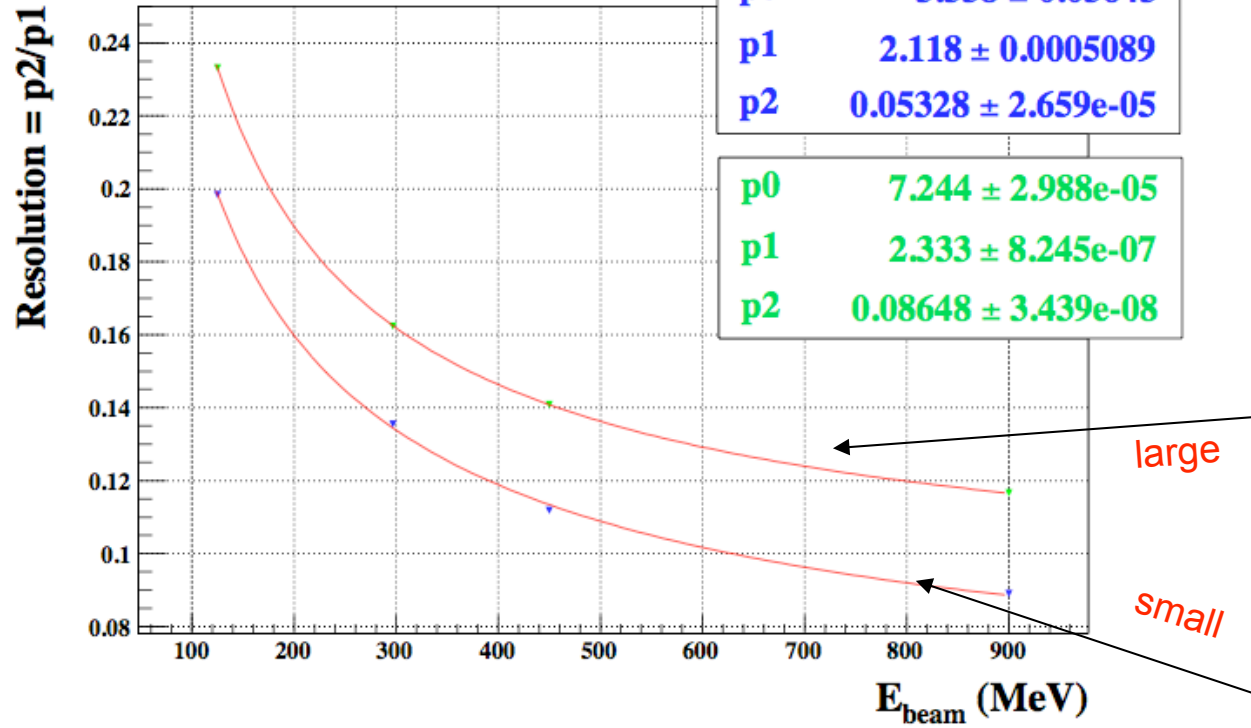
The ratio between the peak position of the data distribution and the MC distribution gives the scale factor and equalization factor. The $\langle R \rangle$ is in agreement with the formula $\langle n_{pe}/\text{MeV} \rangle * G * 1.6 * 10^{-19}$ when $\langle n_{pe}/\text{MeV} \rangle = 5$ and $G = 5 * 10^6$.

| Layer | Peak (pC) | Peak MC (MeV) | R (pC/MeV) |
|-------|-----------|---------------|------------|
| 1 | 15 | 2.2 | 6.8 |
| 2 | 146.3 | 25.5 | 5.54 |
| 3 | 75 | 12.7 | 5.91 |
| 4 | 10 | 1.8 | 5.56 |

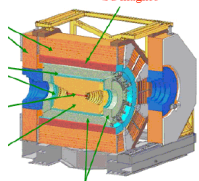
BTF Geant



ZDD Resolution - Test Beam

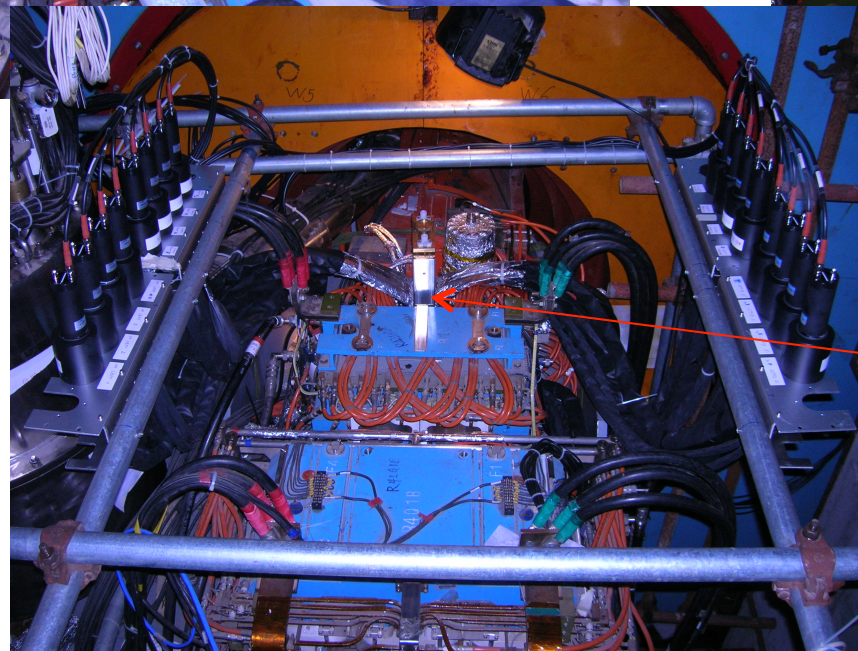
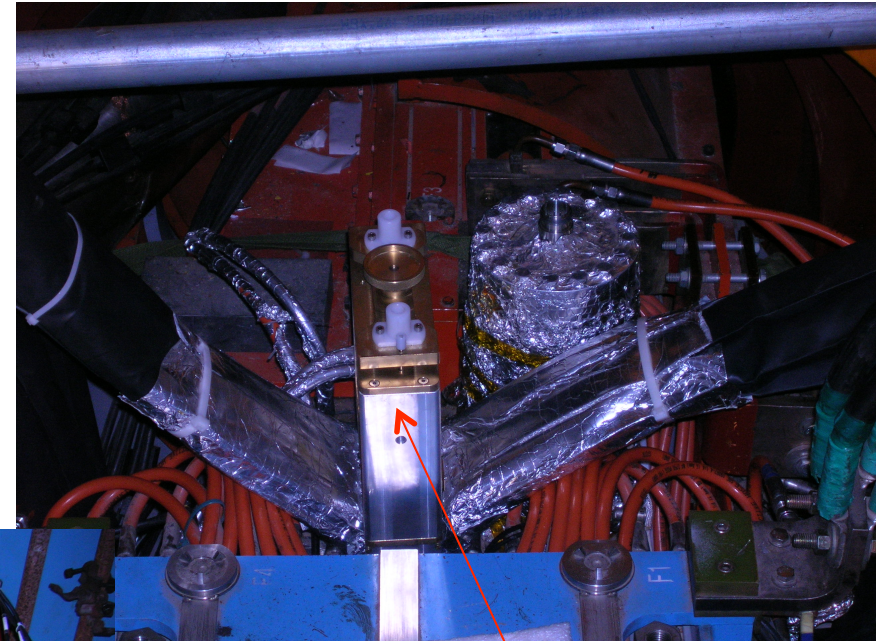


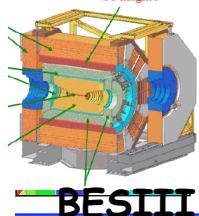
The energy resolution has been computed for two different trigger area: large (1.1×6.0) and small (1.1×0.5). In both cases the beam centre is the geometrical centre of the calorimeter. In large configuration the beam is uniform instead in the small configuration the beam is Gaussian.



BESIII

August Installation at BEPCII





Installazione di Agosto a BEPCII

In 10 giorni a IHEP la stazione ZDD e` stata installata con successo nella zona superaffollata di BEPCII !

- ZDD con la sua struttura meccanica e` posizionata
- I Bundle di guide di luce sono collegati ai PM nel patch pannel e cablati
- Tutte le box di FEE sono installate e collegate, sia near (2m) che far (20m)
- Tutti i canali sono stati accesi e controllati sia prima che dopo la FEE

Al 2 di settembre: ZDD posizionato su BEPCII e funzionante!

- lavori in corso: setup daq con raggi cosmici

RICHIESTE FINANZIARIE 2012



BESIII Italia nel 2012

sezioni coinvolte: LNF (3.0 FTE), Torino (2.3 FTE), PG/Dot1 (Simone Pacetti)

impegno LNF: ZDD, analisi fattori di forma barioni

impegno Torino : analisi fattori di forma barioni, analisi dei segnali da ZDD, farm di calcolo

Composizione del gruppo LNF:

| | |
|---|------|
| R.Baldini Ferroli..... | 0% |
| <u>M. Bertani</u> (resp. naz. e LNF)..... | 100% |
| A. Calcaterra (resp. ZDD)..... | 100% |
| F. Cocetti (ass. Centro Fermi)..... | 100% |
| A.Zallo | 0% |

TOT 3.0 FTE

Composizione del gruppo TO:

| | |
|------------------------------------|-----|
| M. Destefanis..... | 30% |
| M. Greco | 50% |
| L. Fava..... | 50% |
| <u>M. Maggiora</u> (resp. TO)..... | 50% |
| S. Spataro | 50% |

TOT 2.3 FTE



Richieste finanziarie per il 2012 @LNF

| | Richieste (K€) |
|---|---|
| Missioni estere | 56.5 |
| Missioni interne | 4.0 |
| <i>Consumo</i> <i>prelievo magazzino centrale e metalli</i> | 5.0 |
| Apparati tot <i>scheda elettronica(splitter e disc) custom LNF</i> <i>guide di luce, fibre da 1mm diametro</i> <i>strutture meccaniche ZDD</i> <i>PM Hamamatsu H10826 SEL 24(16+4+4) PM</i> <i>alimentaz. 24ch HV (SY1527)</i> <i>Elettronica ZDD (2FADC)</i> | 80 6.0 15.0 7.0 32.0 6.0 14.0 |
| trasporti | 6.0 |
| Totale LNF | 151.5 |



Richieste finanziarie per il 2012 @TO / PG

| TORINO | Richieste(K€) |
|---|---------------|
| Missioni estere | 50.5 |
| Missioni interne | 9.0 |
| Mat. Consumo <i>nastri LTO per storage dati LNF+TO</i> | 4.5 |
| <i>metabolismo</i> | 2.0 |
| | 2.5 |
| Inventario <i>rack 19" per farm</i> | 1.5 |
| Totale TO | 65.5 |

| Perugia/ DOT1 | Richieste(K€) |
|--|---------------|
| Missioni estere (2meeting in Cina, 1 turno) | 6.0 |
| Missioni interne (4 a LNF, 1 a To) | 2.0 |
| Totale PG | 8.0 |



Dettagli richieste Missioni Estere, 2012

- partecipazione alle riunioni di collaborazione, IB meeting, discussione analisi dati e simulazioni, discussione pubblicazioni e release risultati per conferenza
LNF=TO : 2meeting/anno x (7d in Cina + viaggio + fee) x 3p = 11.0 K€
PG/dot1: 2meeting/anno x (7d in Cina + viaggio + fee) x 1p = 3.6 K€
- partecipazione a BESIII Physics Workshop: discussione analisi dati e simulazioni, discussione pubblicazione e release risultati per conferenze
LNF=TO: 2meeting/anno x (7d in Cina + viaggio + fee) x 3p = 11.0 K€
- partecipazione Working group europeo fattori di forma (D/NL):
LNF=TO: 2meeting/anno x (3d in D/NL + viaggio + fee) x 3p = 6.5 K€
- partecipazione meeting BESIII-EU NL):
LNF=TO: 3meeting/anno x (3d in D/NL + viaggio + fee) x 2p = 4.5 K€
- turni di presa dati: Token turni richiesto da BESIII:10turni/persona
LNF:1periodo/persona/anno x (10d in Cina + viaggio) x 4p = 9.0 K€
TO: 1periodo/persona/anno x (10d in Cina + viaggio) x 5p = 11.5 K€
PG/dot1:1 periodo/anno x (10d in Cina + viaggio) x 1p = 2.2 K€
- lavoro fuori sede di un PostDoc/Ricercatore @ IHEP: sviluppo sw ricostruzione, analisi e simulazione
TO: 2periodi/anno x (15d + viaggio) x 1p = 6.0
- attività installazione ZDD @ IHEP:
 - LNF: attività installazione e messa in opera ZDD sul posto:
2sett/anno x (15d + viaggio) x 3p = 8.5 K€
 - LNF: commissioning ZDD all'inizio della presa dati sul posto:
2sett/anno x (15d + viaggio) x 2p = 6.0 K€

Dettagli richieste Missioni Interne 2012



- riunioni di coordinamento software/fisica TO<->LNF:

analisi dati canali $e^+e^- \rightarrow p\bar{p}$, $e^+e^- \rightarrow n\bar{n}$,

sviluppo codice simulazioni

LNF: 1 riunione/anno \times (3d + viaggio) \times 4pp = 2.5 K€

TO: 4 riunioni/anno \times (3d + viaggio) \times 2pp = 5.5 K€

PG/dot1: 1 meeting a To, 4 a LNF = 2.0 K€

- partecipazione alle riunioni CSN1

LNF: 1 riunione/anno \times (2d + viaggio) \times 2pp = 1.5 K€

TO: 1 riunione/anno \times (2d + viaggio) \times 2pp = 1.5 K€

- lavoro fuori sede di un PostDoc/Ricercatore di TO @ LNF:

sviluppo sw ricostruzione, analisi e simulazione

TO: 2 periodi/anno \times (5d + viaggio) \times 1p = 2.0 K€



Dettagli richieste CON. / INV. LNF 2012

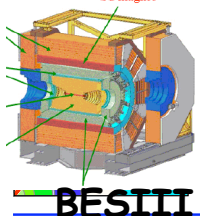
GUIDE DI LUCE in fibra plastica, L=2 m per portare segnale a PM
ditta Luceat (BS) : fibra plastica non rivestita da 1mm: Prezzo 0,39 Euro/m
Necessari 14 Km di fibra/modulo, 2 moduli = 28Km → 15K€

PM Hamamtsu H10826 SEL
24 PM → 32K€

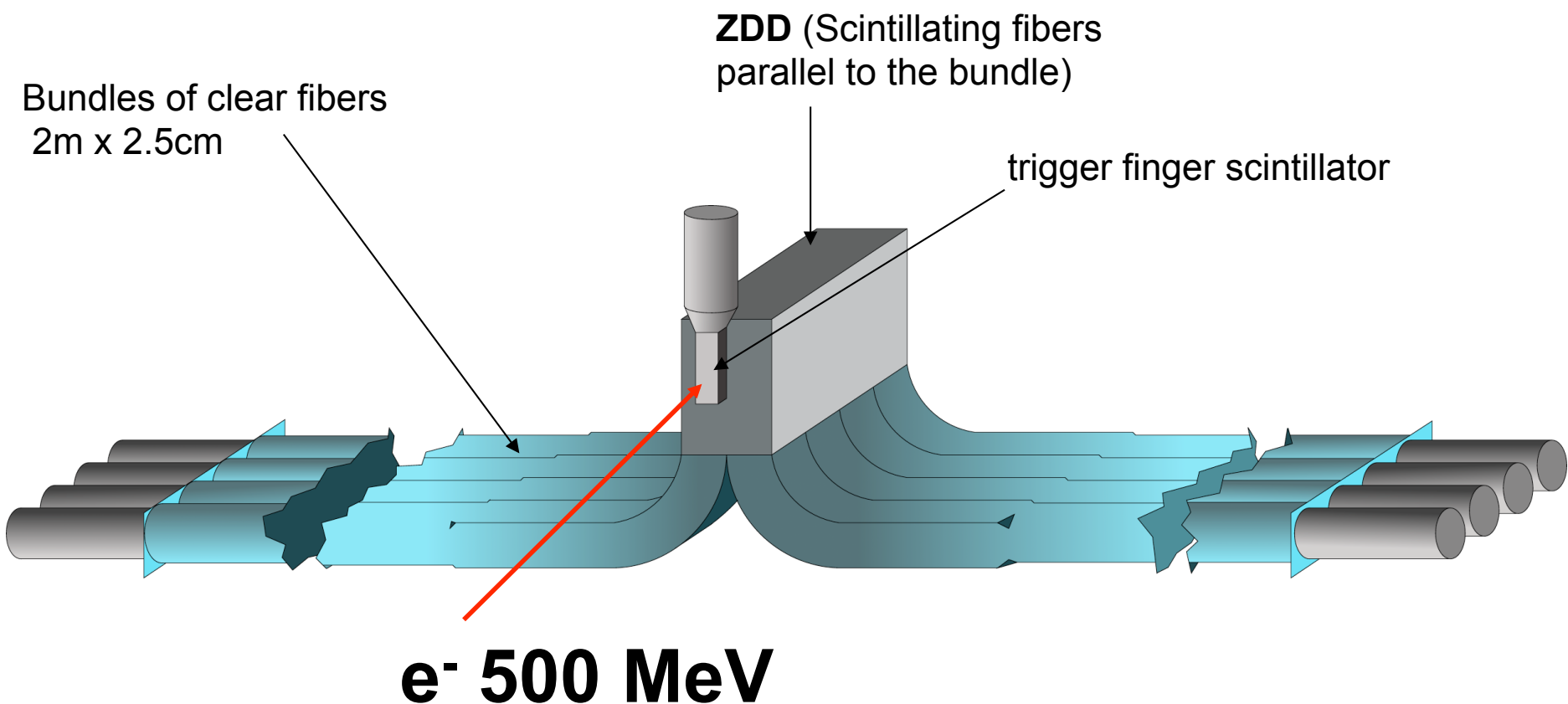
ALIMENTAZIONE PM
SY252LC PowerSupply system → 6.0K€

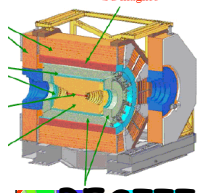
ELETTRONICA ZDD (CAEN)
1 Crate VME =3.0
1 CPU = 2.2
2FADC V1721 - 8 Ch. 8 bit 500 MS/s, 5700 *2+IVA= 14 K€

spares



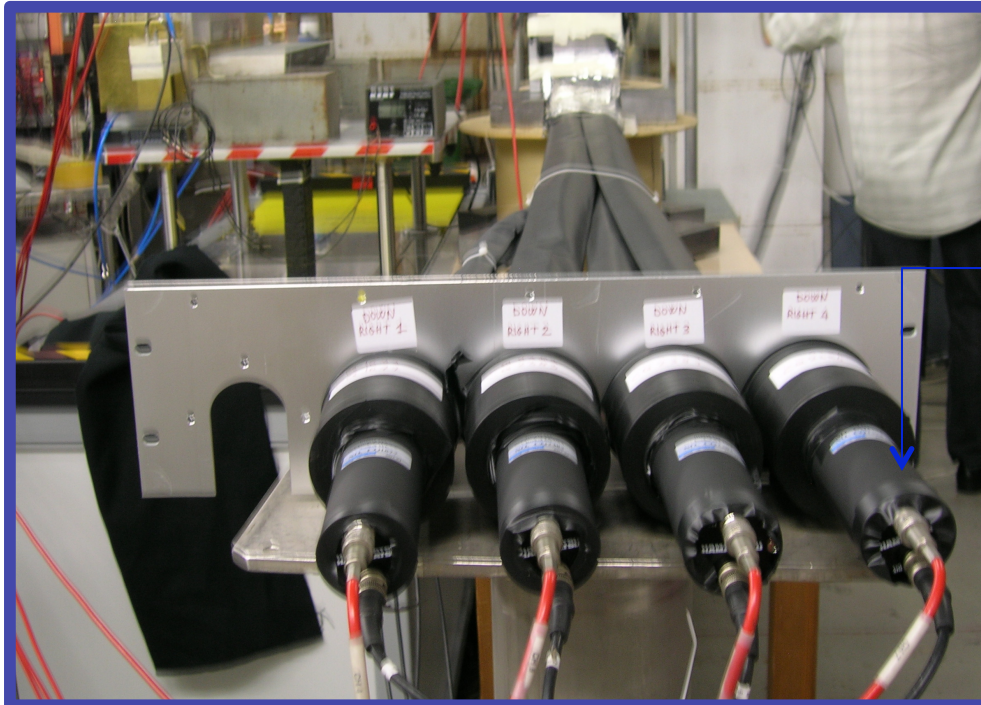
BTF Test beam setup





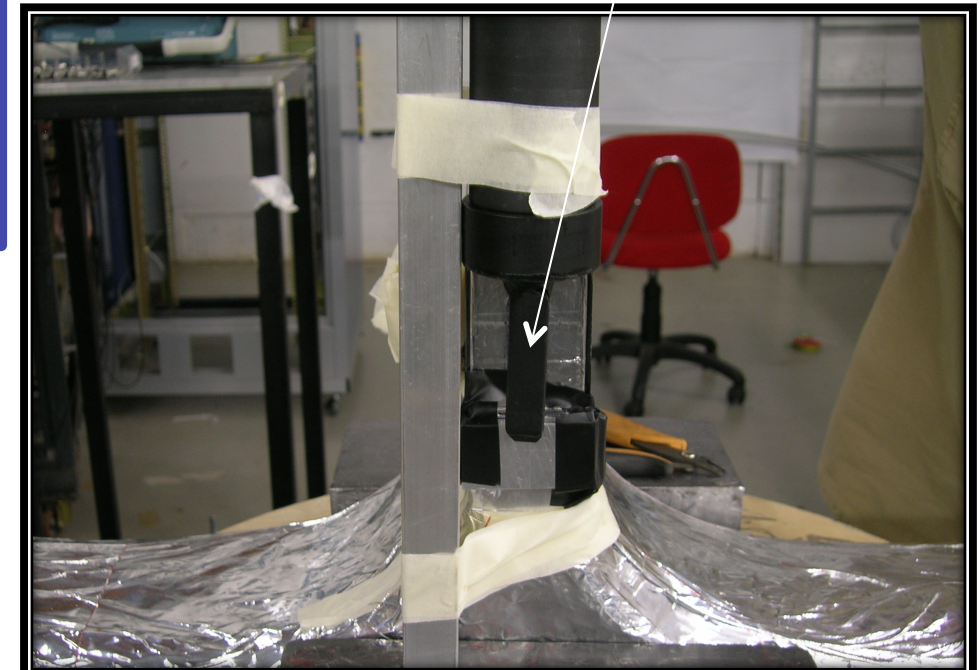
BESIII

BTF test beam



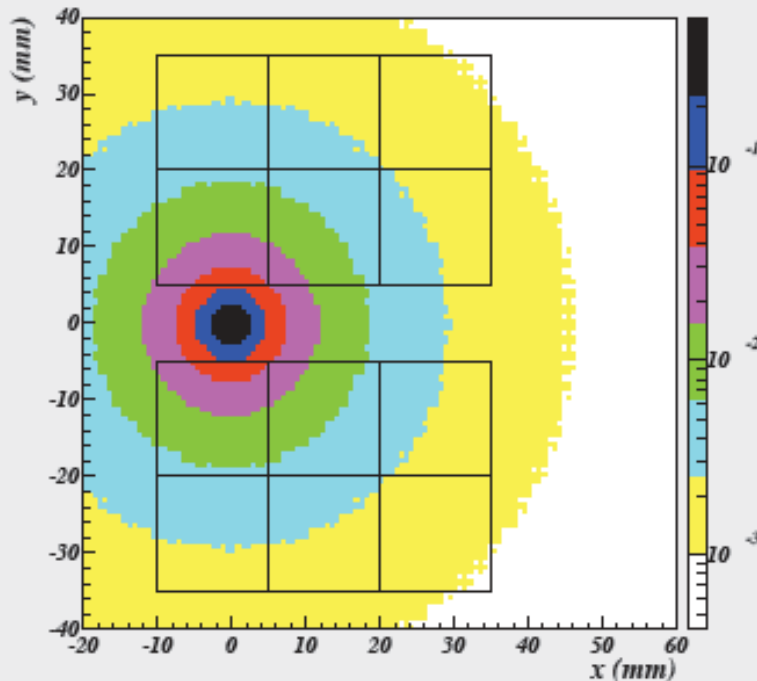
Hamamatsu H10826 SEL

trigger finger scintillator
 $((60 \times 11 \times 4) \text{ mm}^3)$



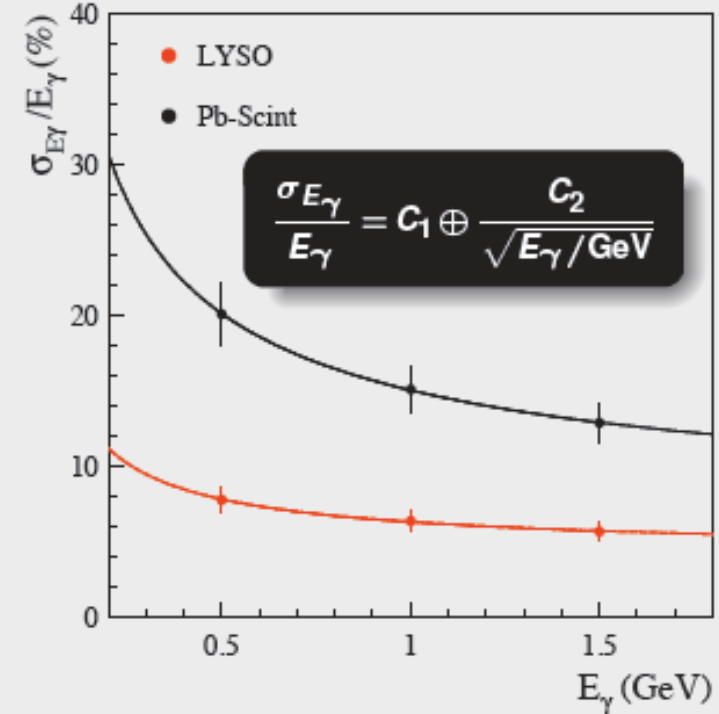
Energy resolution, the ISR case

ISR angular distribution on ZDD

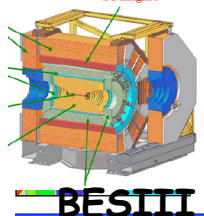


| | LYSO | Pb-Scint |
|------------------|------------------------------|------------------------------|
| E_γ (GeV) | $\sigma_{E_\gamma}/E_\gamma$ | $\sigma_{E_\gamma}/E_\gamma$ |
| 1.5 | 5.7% | 12.9 % |
| 1.0 | 6.4% | 15.1 % |
| 0.5 | 7.8% | 20.1 % |

Energy resolution for ISR

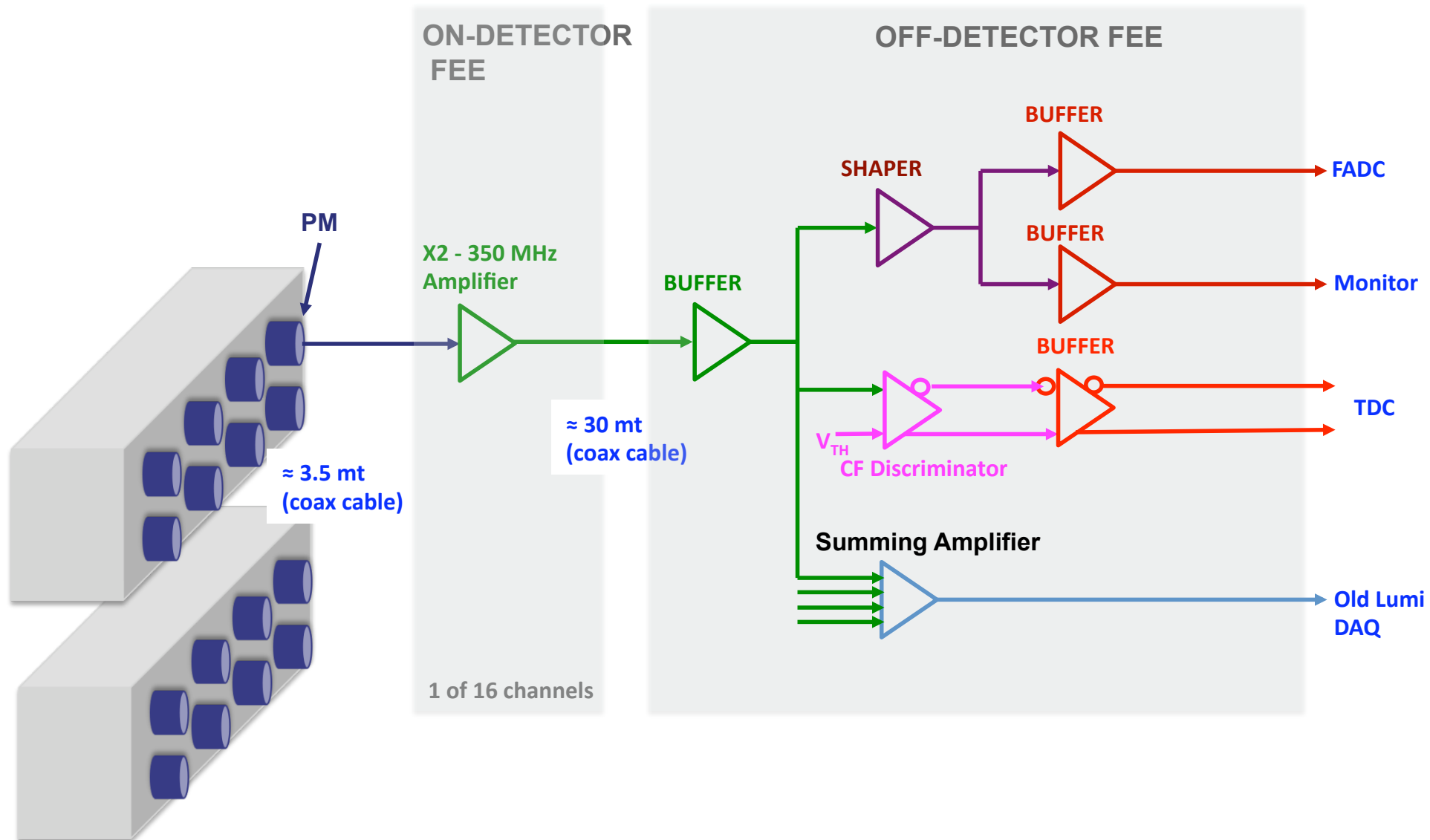


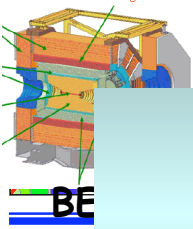
| | LYSO | Pb-Scint |
|-------|------|----------|
| C_1 | 4.3% | 6.9 % |
| C_2 | 4.6% | 13.4 % |



Front End Electronics

(by G.Felici, LNF-SEA)





Front-End electronics

- Close to the detector (~2m away) a mechanical structure holds:
 - 16 PMs (8 up, 8 dw) and fiber bundles
 - cables: analog OUT ($16 \times 3 = 48$)
 - discriminators OUT (16), PM power IN (16)
- ~20 kgs of electronics